

МЕХАНИКА ЖИДКОСТИ, ГАЗА И ПЛАЗМЫ

УДК 537.86

Н.В. Асеева, Л.Г. Бляхман, К.В. Логвинова, В.В. Тютин

ЗАТУХАЮЩИЕ СОЛИТОНЫ В РАСШИРЕННОМ НЕЛИНЕЙНОМ УРАВНЕНИИ ШРЕДИНГЕРА С ПРОСТРАНСТВЕННЫМ ИНДУЦИРОВАННЫМ РАССЕЯНИЕМ И УБЫВАЮЩЕЙ ДИСПЕРСИЕЙ

Национальный исследовательский университет Высшая школа экономики

Цель работы: Исследована динамика солитонов в рамках расширенного нелинейного уравнения Шредингера (НУШ), полученного из системы уравнений «захаровского» типа, описывающего взаимодействие между высоко- и низкочастотными (ВЧ и НЧ) волнами. Полученное расширенное НУШ учитывает псевдо-вынужденное рассеяние Рамана, т.е. пространственный аналог классического вынужденного рассеяния Рамана, описываемого в оптике расширенным НУШ во временной формулировке. Также учтена неоднородность пространственной дисперсии второго порядка и линейные потери ВЧ волн.

Научный подход: Исследование проведено как численно, так и аналитически.

Результат: Показано, что уменьшение волнового числа пакетов, обусловленное псевдо-вынужденным рассеянием Рамана, можно компенсировать увеличением волнового числа за счет дисперсии второго порядка, экспоненциально убывающей в пространстве. Аналитически найдено «солитонное» решение, сохраняющее свою структуру. Аналитические результаты подтверждены численным счетом.

Новизна: Результаты исследования новые и могут иметь приложение для разработки новых поколений оптоволоконных линий связи на базе коротких оптических солитонов.

Ключевые слова: расширенное нелинейное уравнение Шредингера, затухающий солитон, вынужденное рассеяние, неоднородность, дисперсия второго порядка, затухание ВЧ волн, линейные потери НЧ-волн, аналитическое решение, численный эксперимент.

Введение

В настоящее время значителен интерес к солитонам, обусловленный их способностью сохранять свою форму, и переносить энергию и информацию в течение длительного времени без значительных потерь. Солитонные решения возникают во многих областях физики, имеющих дело с распространением интенсивных волновых полей в диспергирующих средах: оптические лучи и импульсы в волоконных линиях связи и волноводах, электромагнитные волны в плазме, поверхностные волны на глубокой воде и т.д. [1-7]. В последнее время солитоны используют и для описания «плазмонов» [8-10].

Динамика протяженных ВЧ волновых пакетов корректно описывается во втором порядке теории дисперсии нелинейных волн. Основным модельным уравнением в этом случае является НУШ [11, 12], которое учитывает дисперсию второго порядка и кубичную нелинейность (самоукручение). Солитонное решение в рамках НУШ существует в результате баланса между дисперсионным расплыванием и нелинейным сжатием волнового пакета. В частности, решение с постоянной структурой в виде затухающего солитона в рамках НУШ, учитывающего линейные потери ВЧ-волн и пространственное убывание дисперсии второго порядка, представлено в [4, 13].

Для описания динамики коротких ВЧ волновых пакетов используется уже третье приближение теории дисперсии нелинейных волн [1], которое учитывает нелинейную диспер-

сию [14], вынужденное рассеяние Рамана [15-17] и дисперсию третьего порядка. Основное модельное уравнение в этом случае – расширенное НУШ [17-21]. Солитонное решение в рамках расширенного НУШ с дисперсией третьего порядка и нелинейной дисперсией было получено в [22-29]. В [30, 31], были найдены стационарные волны перепада в рамках расширенного НУШ с вынужденным рассеянием Рамана и нелинейной дисперсией.

Эти волны существуют в результате равновесия между вынужденным рассеянием и нелинейной дисперсией. Для локализованных нелинейных волновых пакетов (солитонов) вынужденное рассеяние приводит к сдвигу вниз спектра солитона [15-17] и, в итоге, – к разрушению солитона. Использование баланса между вынужденным рассеянием и переменными характеристиками среды для стабилизации солитонов в протяженных линиях передач предложено в [32]. Компенсация вынужденного рассеяния линейным излучением из ядра солитона рассмотрена в [33]. Компенсация вынужденного рассеяния в неоднородных средах рассмотрена в нескольких случаях: с периодической дисперсией второго порядка [34, 35], в средах со сдвигом точки нулевой дисперсии второго порядка [36], в оптических волокнах с убывающей дисперсией [37].

Интенсивные короткие импульсы ВЧ электромагнитных или ленгмюровских волн в плазме, а также ВЧ поверхностные волны на глубокой воде, испытывают существенное затухание в результате рассеяния на НЧ волнах, которое, в свою очередь, возникает как эффект вязкости. Такие НЧ моды являются ионно-звуковыми волнами в плазме, или внутренними волнами в стратифицированной жидкости. Первая модель для затухания при взаимодействии с НЧ-волнами была предложена в [38]. Эта модель использует расширенное НУШ с пространственным аналогом вынужденного рассеяния Рамана, которое было названо псевдовынужденное рассеяния Рамана. Это уравнение было получено из системы уравнений «захаровского» типа [39, 40] для связанных ленгмюровских и ионно-звуковых волн в плазме. Псевдовынужденное рассеяние приводит к сдвигу вниз по спектру волнового числа, подобно хорошо известному эффекту классического вынужденного рассеяния [1, 14–17] и, в итоге, к разрушению солитона. Модель, разработанная в [38], также учитывает плавное пространственное изменение дисперсии второго порядка (как пространственное уменьшение коэффициента дисперсии второго порядка). Эта неоднородность приводит к сдвигу вверх по спектру собственного волнового числа волнового пакета и делает возможным для солитонов компенсацию псевдовынужденного рассеяния пространственно неоднородной дисперсией второго порядка и уничтожает эффект потерь на НЧ-волнах.

В данной работе рассмотрена динамика интенсивных ВЧ волновых пакетов в диспергирующих нелинейных средах при учете рассеяния на затухающих НЧ-волнах, линейных потерь ВЧ-волн и экспоненциально убывающей дисперсии второго порядка. В третьем приближении теории дисперсии нелинейных волн (для коротких волновых пакетов), исходная система уравнений «захаровского» типа сведена к расширенному неоднородному НУШ. Это уравнение включает член псевдовынужденного рассеяния Рамана и член пространственно убывающей дисперсии второго порядка. Равновесие между этими двумя членами дает возможность стабилизации спектра волнового числа солитона. Найдено решение в виде устойчивого солитона.

Основное уравнение и интегральные соотношения

Рассмотрим эволюцию медленно изменяющейся огибающей $W(\xi, t)$ интенсивного волнового пакета в нелинейной среде с неоднородной дисперсией. Учтем взаимодействие с затухающими НЧ-волнами, которое можно представить как локальное возмущение эффективного показателя преломления $n(\xi, t)$. Эта эволюция описывается соответствующей системой уравнений «захаровского» типа для однонаправленного распространения ВЧ- и НЧ-волн [39, 40]

$$2i \left(\frac{\partial W}{\partial t} + V \frac{\partial W}{\partial x} \right) + \frac{\partial}{\partial x} \left(q(x) \frac{\partial W}{\partial x} \right) - nW + ivW = 0, \quad (1)$$

$$\frac{\partial n}{\partial t} + V_s \frac{\partial n}{\partial x} - \delta \frac{\partial^2 n}{\partial x^2} = -\frac{\partial(|W|^2)}{\partial x}, \quad (2)$$

где v - коэффициент потерь ВЧ волн; δ - коэффициент вязкости для ВЧ волн; V - групповая скорость ВЧ волн; V_s - скорость НЧ-волн. Как отмечалось ранее, эта система описывает интенсивные ленгмюровские волны в изотропной плазме при взаимодействии с ионно-звуковыми волнами, которое соответствует вязкому трению.

В третьем приближении теории дисперсии нелинейных волн (для коротких ВЧ волновых пакетов, при $k\Delta \ll \delta$, где k , Δ - характерные волновое число и пространственная протяженность волнового пакета), в приближении нелинейного отклика среды $n = -|W|^2(V_s - V)^{-1} - \delta(V_s - V)^{-2} \partial(|W|^2)/\partial \xi$, приходим к следующему эволюционному уравнению для огибающей ВЧ волновых пакетов:

$$2i \frac{\partial W}{\partial t} + \frac{\partial}{\partial \xi} \left[q(\xi + Vt) \frac{\partial W}{\partial \xi} \right] + 2\alpha W |W|^2 + \mu W \frac{\partial(|W|^2)}{\partial \xi} + ivW = 0, \quad (3)$$

где $\xi \equiv x - Vt$, $\alpha \equiv (1/2)(V_s - V)^{-1}$, слагаемое $\mu W \partial(|W|^2)/\partial \xi$, с коэффициентом

$$\mu \equiv \delta(V_s - V)^{-2} \quad (4)$$

– это пространственный аналог вынужденного рассеяния Рамана во временном представлении. После подстановки

$$W \equiv U \exp(-it/2), \quad (5)$$

уравнение (3) принимает вид

$$2i \frac{\partial U}{\partial t} + \frac{\partial}{\partial \xi} \left[q(\xi + Vt) \frac{\partial U}{\partial \xi} \right] + 2\alpha U |U|^2 \exp(-vt) + \mu U \frac{\partial(|U|^2)}{\partial \xi} \exp(-vt) = 0. \quad (6)$$

Уравнение (6) при нулевых условиях на бесконечности $U|_{\xi \rightarrow \pm\infty} \rightarrow 0$ имеет следующие интегральные соотношения для моментов волнового поля:

$$\frac{dN}{dt} \equiv \frac{d}{dt} \int_{-\infty}^{+\infty} |U|^2 d\xi = 0; \quad (7)$$

$$2 \frac{d}{dt} \int_{-\infty}^{+\infty} K |U|^2 d\xi = -\mu \exp(-vt) \int_{-\infty}^{+\infty} \left(\frac{\partial(|U|^2)}{\partial \xi} \right)^2 d\xi - \int_{-\infty}^{+\infty} \frac{\partial q}{\partial \xi} \left| \frac{\partial U}{\partial \xi} \right|^2 d\xi; \quad (8)$$

$$\frac{d}{dt} \int_{-\infty}^{+\infty} \left| \frac{\partial U}{\partial \xi} \right|^2 d\xi = -\mu \exp(-vt) \int_{-\infty}^{+\infty} K \left(\frac{\partial(|U|^2)}{\partial \xi} \right)^2 d\xi \quad (9)$$

$$+ \alpha \exp(-vt) \int_{-\infty}^{+\infty} K \frac{\partial(|U|^4)}{\partial \xi} d\xi - \int_{-\infty}^{+\infty} \frac{\partial q}{\partial \xi} \left(\frac{\partial^2 U}{\partial \xi^2} \frac{\partial U^*}{\partial \xi} - \frac{\partial^2 U^*}{\partial \xi^2} \frac{\partial U}{\partial \xi} \right) d\xi;$$

$$\frac{d}{dt} \int_{-\infty}^{+\infty} \left(\frac{\partial(|U|^2)}{\partial \xi} \right)^2 d\xi = 2 \int_{-\infty}^{+\infty} \frac{\partial^2(|U|^2)}{\partial \xi^2} \frac{\partial(qK|U|^2)}{\partial \xi} d\xi; \quad (10)$$

$$\frac{d}{dt} \int_{-\infty}^{+\infty} |U|^4 d\xi = \int_{-\infty}^{+\infty} qK \frac{\partial(|U|^4)}{\partial \xi} d\xi; \quad (11)$$

$$\frac{d}{dt} \int_{-\infty}^{\infty} \xi |U|^2 d\xi = \int_{-\infty}^{+\infty} qK|U|^2 d\xi. \quad (12)$$

В указанных соотношениях комплексное волновое поле представлено в виде $U \equiv |U| \exp(i\phi)$, U^* - комплексно сопряженная к нему величина, $K \equiv \partial\phi / \partial\xi$ - локальное волновое число.

Аналитические результаты

Изменение моментов волнового поля

Примем характерные масштабы неоднородностей дисперсии второго порядка и локального волнового числа K много большими пространственной ширины огибающей волнового пакета $D_{q,K} \gg D_{|U|}$. Аппроксимируем пространственное изменение волнового числа

линейной функцией: $K(\xi, t) \approx K(\bar{\xi}, t) + (\partial K / \partial \xi)_{\bar{\xi}} (\xi - \bar{\xi})$, где $\bar{\xi} \equiv N^{-1} \int_{-\infty}^{+\infty} \xi |U|^2 d\xi$ и

$N \equiv \int_{-\infty}^{+\infty} |U|^2 d\xi$. Далее получим из мнимой части уравнения (6), при условии $(\partial |U| / \partial \xi)_{\bar{\xi}} = 0$ (которое означает, что максимум амплитуды солитона совпадает с его центром масс), соотношение

$$\left(\frac{\partial K}{\partial \xi} \right)_{\bar{\xi}} = - \left(\frac{2}{q|U|} \frac{\partial |U|}{\partial t} + \frac{1}{q} \frac{\partial q}{\partial \xi} K \right)_{\bar{\xi}}. \quad (13)$$

Из уравнения (6), при учете (13), для уединенных волновых пакетов распределение волнового числа можно представить в виде

$$K(\xi, t) = k(t) + \left(\frac{v}{q} + \frac{V}{q^2} \frac{\partial q}{\partial \xi} \right)_{\bar{\xi}} (\xi - \bar{\xi}), \quad (14)$$

где $k(t) \equiv K(\bar{\xi}, t)$. Далее система уравнений (8)-(12) может быть преобразована в эволюционные уравнения для параметров волновых пакетов:

$$2N \frac{dk}{dt} = -\mu L_0 l \exp(-vt) - q'(\bar{\xi} + Vt) Nz, \quad (15)$$

$$\begin{aligned} N \frac{dz}{dt} &= -\mu L_0 k l \exp(-vt) - 3kq'(\bar{\xi} + Vt) Nz + 2k^3 q'(\bar{\xi} + Vt) N \\ &- \frac{\alpha}{q(\bar{\xi} + Vt)} M_0 \left(v + V \frac{q'(\bar{\xi} + Vt)}{q(\bar{\xi} + Vt)} \right) m \exp(-vt), \end{aligned} \quad (16)$$

$$\frac{dm}{dt} = -kq'(\bar{\xi} + Vt) m - \left(v + V \frac{q'(\bar{\xi} + Vt)}{q(\bar{\xi} + Vt)} \right) m, \quad (17)$$

$$\frac{dl}{dt} = -3kq'(\bar{\xi} + Vt) l, \quad (18)$$

$$\frac{d\bar{\xi}}{dt} = kq(\bar{\xi} + Vt), \quad (19)$$

где $q'(\bar{\xi} + Vt) \equiv (\partial q / \partial \xi)_{\bar{\xi}}$, $l \equiv L / L_0$, $m \equiv M / M_0$, $z \equiv Z / N$; $Z \equiv \int_{-\infty}^{\infty} |\partial U / \partial \xi|^2 d\xi$.

$M \equiv \int_{-\infty}^{\infty} |U|^4 d\xi$, $L \equiv \int_{-\infty}^{\infty} (\partial(U^2)/\partial\xi)^2 d\xi$, вместе с энергией волнового пакета N (определенной в уравнении (7)), – это характеристические интегралы волнового пакета. $M_0 = M(0)$, $L_0 = L(0)$ – исходные значения этих интегралов.

Выберем пространственное изменение дисперсии второго порядка в виде $v + Vq'(\bar{\xi} + Vt)/q(\bar{\xi} + Vt) = 0$, соответствующем экспоненциально убывающему профилю

$$q = q_0 \exp(-vx/V). \quad (20)$$

Теперь система (15)-(19), при переопределении времени и координаты солитона

$$\theta \equiv vt, \eta \equiv v\bar{\xi}/V, \quad (21)$$

преобразуется к виду

$$2\frac{V}{q_0} \exp \theta \frac{dk}{d\theta} = -pl + z \exp(-\eta), \quad (22)$$

$$\frac{V}{q_0} \exp \theta \frac{dz}{d\theta} = -pkl + 3k \exp(-\eta)z - 2k^3 \exp(-\eta), \quad (23)$$

$$\frac{V}{q_0} \exp \theta \frac{dl}{d\theta} = 3kl \exp(-\eta), \quad (24)$$

$$\frac{V}{q_0} \exp \theta \frac{d\eta}{d\theta} = k \exp(-\eta) \quad (25)$$

где $p \equiv \mu VL_0/(vq_0N)$. Используя первые интегралы $l = \exp(3\eta)$ и $z = k^2 + (z_0 - k_0^2)\exp(2\eta)$, где $k_0 = k(0)$, $z_0 \equiv Z_0/N$, $Z_0 = Z(0)$, система уравнений (22)-(25) сводится к виду

$$2\sigma \exp \theta \frac{dy}{d\theta} = -\lambda \exp(3\eta) + y^2 \exp(-\eta) + (1 - y_0^2) \exp(\eta), \quad (26)$$

$$\sigma \exp \theta \frac{d\eta}{d\theta} = y \exp(-\eta). \quad (27)$$

Здесь определены новые константы $\sigma \equiv V/(q_0\sqrt{z_0})$, $y_0 = y(0)$,

$$\lambda \equiv p/z_0 = \mu VL_0/(z_0 v q_0 N) \quad (28)$$

и отмасштабированное волновое число солитона

$$y \equiv k/\sqrt{z_0}. \quad (29)$$

Равновесное состояние системы (27)-(28) достигается при условии

$$k = 0, \quad VL_0\mu = q_0 v Z_0. \quad (30)$$

В равновесном режиме волновой пакет U распространяется, сохраняя исходные величины интегральных моментов N , L_0 , и Z_0 , и с нулевым волновым числом. Однако моменты волнового поля исходного волнового пакета $W = U \exp(-\theta/2)$ экспоненциально затухают $N_w(\theta) = N \exp(-\theta)$, $L_w(\theta) = L_0 \exp(-\theta)$, $Z_w(\theta) = Z_0 \exp(-\theta)$. Первый интеграл этих уравнений имеет вид:

$$3y^2 \exp(-\eta) - \lambda(1 - \exp(3\eta)) + 3(1 - y_0^2)(1 - \exp(\eta)) = 3y_0^2. \quad (31)$$

На рис. 1 представлена эволюция $y(\theta)$ во времени, как следствие уравнений (26)–(27), при начальном условии $y_0 = 0$ и для различных величин σ и λ .

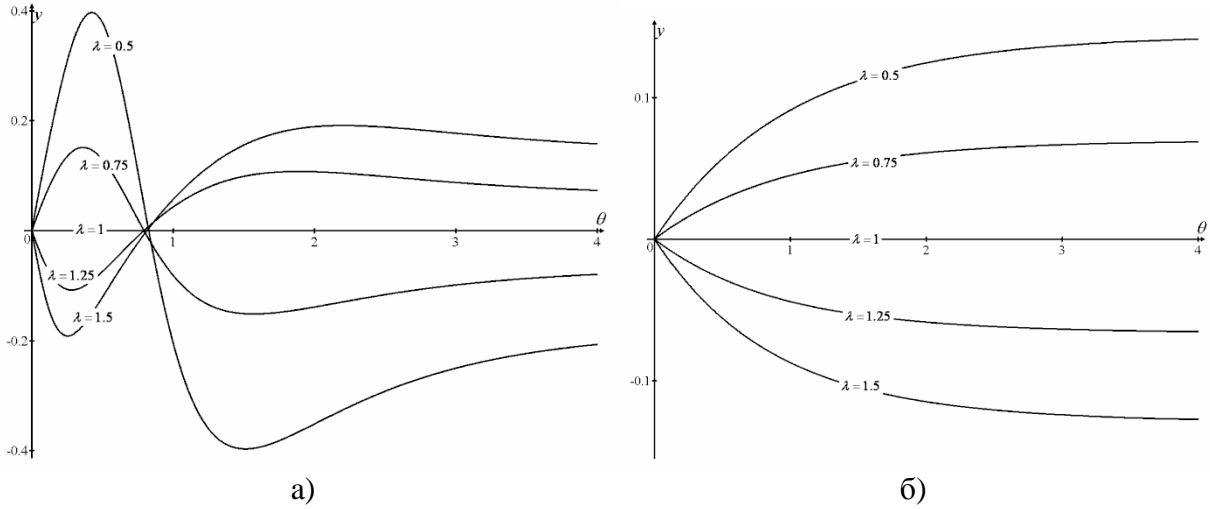


Рис. 1. Эволюция $y(\theta)$ во времени при начальном условии $y_0 = 0$ и различных величинах σ : $a - \sigma = 1/10$; $b - \sigma = 1$, и λ

Солитонное решение

Рассмотрим теперь решение уравнения (6) при экспоненциальном пространственном профиле дисперсии второго порядка, определенном соотношением (20), т.е. $q(\xi + Vt) = q_0 \exp(-(\xi + Vt)/D)$. Искомое решение представим в виде волны стационарного профиля $U(\xi, t) = \psi(\xi) \exp(i \int \Omega(t) dt)$:

$$q_0 \exp\left(-\frac{\xi}{D}\right) \exp\left[t\left(v - \frac{V}{D}\right)\right] \frac{d^2\psi}{d\xi^2} - \frac{q_0}{D} \exp\left(-\frac{\xi}{D}\right) \exp\left[t\left(v - \frac{V}{D}\right)\right] \frac{d\psi}{d\xi} + 2\alpha\psi^3 - 2\Omega(t)\exp(vt)\psi + \mu\psi \frac{d(\psi^2)}{d\xi} = 0. \quad (32)$$

При условии $V/D = v$ и $\Omega(t) = \Omega_0 \exp(-vt)$ уравнение (32) дает

$$q_0 \exp\left(-\frac{v\xi}{V}\right) \frac{d^2\psi}{d\xi^2} + 2\alpha\psi^3 - 2\Omega_0\psi - v \frac{q_0}{V} \exp\left(-\frac{v\xi}{V}\right) \frac{d\psi}{d\xi} + \mu\psi \frac{d(\psi^2)}{d\xi} = 0. \quad (33)$$

Предположим, как было показано ранее, что масштаб пространственной неоднородности дисперсии второго порядка много больше ширины волнового пакета $D \equiv V/v \gg D_U$. Принимая во внимание, что $\varepsilon \sim vD_U/V \sim \mu \ll \alpha, q_0$ и аппроксимация $\exp(-v\xi/V) \approx 1 - v\xi/V$, решение уравнения (33) можно найти в виде

$$\psi = \psi_0 + \psi_1, \text{ при } \psi_1 \sim \varepsilon\psi_0 \ll \psi_0. \quad (34)$$

Удерживая члены порядка ε , получим

$$q_0 \frac{d^2\psi_0}{d\xi^2} + 2\alpha\psi_0^3 - 2\Omega\psi_0 = 0, \quad (35)$$

$$q_0 \frac{d^2\psi_1}{d\xi^2} + (6\alpha\psi_0^2 - 2\Omega)\psi_1 = v \frac{q_0}{V} \frac{d^2\psi_0}{d\xi^2} \xi - \frac{2}{3}\mu \frac{d(\psi_0^3)}{d\xi} + v \frac{q_0}{V} \frac{d\psi_0}{d\xi}. \quad (36)$$

Уравнение (35) в нулевом порядке дает решение в виде солитона классического профиля:

$$\psi_0 = A_0 \operatorname{sech}(\xi/\Delta),$$

где

$$\Delta \equiv \sqrt{q} / (A_0 \sqrt{\alpha}) \text{ и } \Omega \equiv \alpha A_0^2 / 2. \quad (37)$$

После введения обозначений $\eta \equiv \xi/\Delta$ и $\Psi \equiv \psi_1 V / (vA_0 \Delta)$ уравнение (36) первой поправки примет вид

$$\frac{d^2 \Psi}{d\eta^2} + \left(\frac{6}{\cosh^2 \eta} - 1 \right) \Psi = -2 \frac{\eta}{\cosh^3 \eta} + \frac{\eta}{\cosh \eta} + \frac{5}{4} \frac{\mu}{\mu_*} \frac{\sinh \eta}{\cosh^4 \eta} - \frac{\sinh \eta}{\cosh^2 \eta}, \quad (38)$$

где

$$\mu_* \equiv 5q_0 v / (8A_0^2 V) \quad (39)$$

– равновесная величина коэффициента псевдо вынужденного рассеяния. Фактически, уравнение (39) определяет величину амплитуды солитона в нулевом приближении A_0 , с которой солитон существует в принятой модели, т.е. в рамках уравнений (1), (2) и (20). При условии $\Psi(0) = 0$ уравнение (38) приводит к точному решению для первой поправки,

$$\Psi(\eta) = \left(\Psi'(0) \tanh \eta - \frac{\eta^2}{4} \tanh \eta + \frac{\mu}{4\mu_*} (\tanh \eta) \ln(\cosh \eta) \right) \operatorname{sech} \eta + \frac{1}{12} \left(\frac{\mu}{\mu_*} - 1 \right) (\tanh^2 \eta) \sinh \eta, \quad (40)$$

что можно сравнить с похожим решением, показанном в [38]. При $\mu = \mu_*$ решение (40) удовлетворяет граничным условиям $\Psi(\eta \rightarrow \pm\infty) \rightarrow 0$. Данное решение существует в результате баланса между псевдовынужденным рассеянием и экспоненциально убывающей дисперсией второго порядка. При $\mu \neq \mu_*$ решение (40) на бесконечности расходится $|\Psi(\eta \rightarrow \pm\infty)| \rightarrow \infty$.

Отметим, что полное решение, заданное выражением (33), несимметрично, и является комбинацией симметричной и антисимметричной частей нулевого порядка и первого порядка (37) и (40). Решение с несимметричными хвостами возникает в рамках хорошо известной системы линейно связанных НУШ, описывающей туннельно связанные нелинейные оптические волокна [41].

Численный счет

Был проведен численный эксперимент для задачи эволюции волнового пакета с начально-заданным распределением $U(\xi, t=0) = 1/\cosh \xi$, в рамках уравнения (6) при $v/V = 1/10$, $q(\xi) = \exp(-\xi/10)$, $\alpha = 1$ и различных величинах V , v и μ . Предсказанный аналитически равновесный уровень коэффициента псевдовынужденного рассеяния (39) для указанного начального импульса - $\mu_* = 1/16$.

В численном эксперименте начальный импульс при $\mu = 1/16$ трансформировался к стационарному локализованному распределению с нулевым волновым числом. Это распределение близко к полученному аналитически решению, заданному выражениями (34), (37), и (40), с константами $q_0 = \alpha = A_0 = 1$, $q' = -1/10$, и $\mu = \mu_*$, предсказанными (35)–(36):

$$|U| = \left(1 + \frac{1}{40} \left((\tanh \xi) \ln(\cosh \xi) - \xi^2 \tanh \xi \right) \right) \operatorname{sech} \xi. \quad (41)$$

При величине коэффициента псевдовынужденного рассеяния, отличном от μ_* (39), численный эксперимент приводит к нестационарному решению. Например, при $\mu = 2/64 \equiv 0.5\mu_*$, результат приведен на рис. 2.

На рис. 3 представлены результаты как численного эксперимента изменения во времени локального волнового числа в точке максимума огибающей волнового числа при различных величинах μ и соответствующие величины, полученные аналитически из (26)–(27). Показано близкое совпадение результатов аналитического исследования и численного эксперимента как при $\mu = \mu_*$ (где и в аналитическом, и в численном результате волновое число остается практически нулевым), так и для нестационарных импульсов при $\mu \neq \mu_*$. Подобная схожесть наблюдается и при всех величинах параметров.

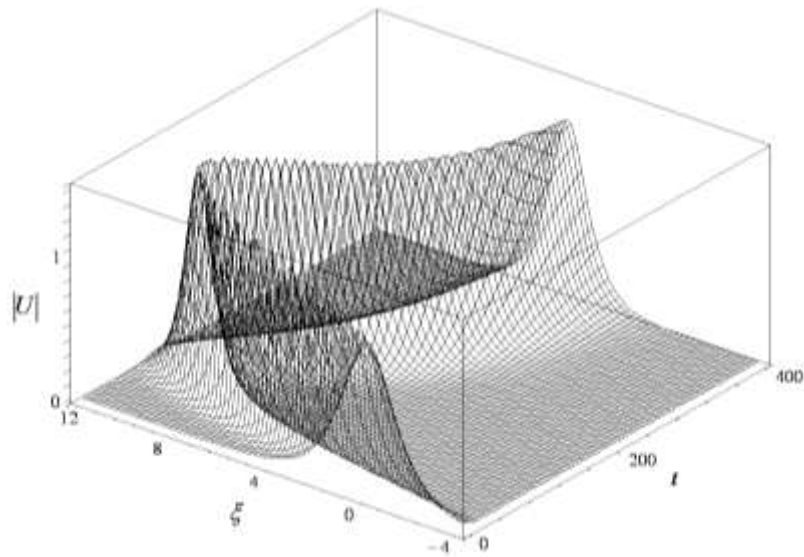


Рис. 2. Эволюция огибающей волнового пакета в численном эксперименте при $\mu = 2/64 \equiv 0.5\mu_*$ и $\nu = 0.01, V = 0.1$

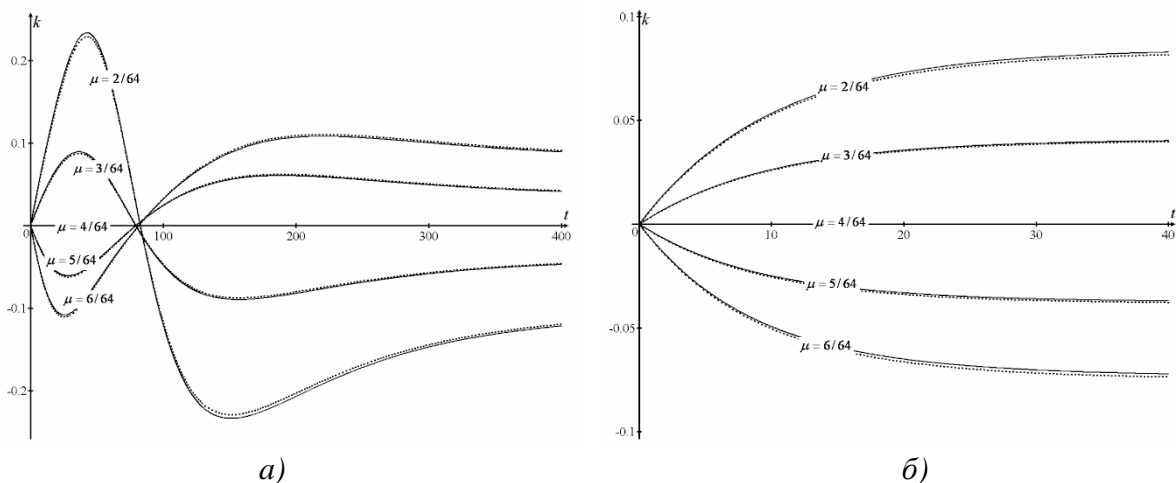


Рис. 3. Результаты численных и аналитических исследований (непрерывные и прерывистые линии). Изменение во времени локального волнового числа в максимуме огибающей волнового пакета при профиле дисперсии второго порядка $q(x) = \exp(-x/10)$, при различных величинах μ и различных ν и V :
 $a - \nu = 0.01, V = 0.1$; $б - \nu = 0.1, V = 1$

Выводы

В данной работе исследована динамика солитона в рамках расширенного неоднородного НУШ, полученного из системы уравнений «захаровского» типа для связанных ВЧ- и НЧ-волн. Эта модель учитывает псевдовынужденное рассеяние Рамана, экспоненциально убывающую дисперсию второго порядка и линейные потери ВЧ-волн.

Результаты исследования получены аналитическим методом, основанным на анализе эволюционных уравнений для моментов волнового поля, а также подтверждены в численном эксперименте. Стационарный солитон в рамках этой модели существует в результате баланса между сдвигом вниз по спектру собственного волнового числа пакета (эффект вызван псевдовынужденным рассеянием) и сдвигом волнового числа вверх (эффект вызван экспоненциально убывающей дисперсией второго порядка). Аналитические и численные результаты совпадают для всех рассмотренных величин параметров.

В использованной модели не рассматривалась нелинейная дисперсия и линейная дисперсия третьего порядка. Модели с указанными членами высоких порядков малости и возможность компенсации эффектов псевдовынужденного рассеяния Рамана в таких моделях будут рассмотрены в дальнейших работах.

Библиографический список

1. **Infeld, E.** Nonlinear Waves, Solitons, and Chaos / E. Infeld, G. Rowlands // Cambridge University Press. – Cambridge, 2000.
2. **Agrawal, G.P.** Nonlinear Fiber Optic // Academic Press. – San Diego, 2001.
3. **Yang, Y.** Solitons in Field Theory and Nonlinear Analysis // Springer. – New York, 2001.
4. **Kivshar, Y.S.** Optical Solitons: From Fibers to Photonic Crystals / Y.S. Kivshar, G.P. Agrawal // Academic. – San Diego, 2003.
5. **Dickey, L.A.** Soliton Equation and Hamiltonian Systems // World Scientific. – New York, 2005.
6. **Malomed, B.A.** Soliton Management in Periodic Systems // Springer. – New York, 2006.
7. **Dauxois, T.** Physics of Solitons / T. Dauxois, M. Peyrard // Cambridge University Press. – Cambridge, 2006.
8. **Sich M., Krizhanovskii D.N., Skolnick M.S., Gorbach A.V., Hartley R., Skryabin D.V., Cerda-Méndez E.A., Biermann K., Hey R., Santos P.V.,** Nature Phot. 6 (2012) 50-55.
9. **Kauranen M., Zayats A.V.,** Nature Phot. 6 (2012) 737-748.
10. **Cerda-Ménde E. A., Sarkar D., Krizhanovskii D. N., Gavrilov S.S., Biermann K., Skolnick M.S., and Santos P.V.,** Phys. Rev. Lett. 111 (2013) 146401.
11. **Zakharov V.E., Shabat A.B.,** Sov. Phys. JETP. 34 (1972) 62-69.
12. **Hasegawa A., Tappert F.,** Appl. Phys. Lett. 23 (1973) 142-144.
13. **Tajima K.,** Optics Letters 12 (1987) 54-56.
14. **Oliviera J.R., Moura M.A.,** Phys. Rev. E 57 (1998) 4751-4755.
15. **Mitschke F.M., Mollenauer L.F.,** Optics Letters 11 (1986) 659-661.
16. **Gordon J.P.,** Optics Letters 11 (1986) 662-664.
17. **Kodama Y.,** J. Stat. Phys. 39 (1985) 597-614.
18. **Kodama Y. and Hasegawa A.,** IEEE J. Quantum Electron 23 (1987) 510-524.
19. **Zaspel C.E.,** Phys. Rev. Lett. 82 (1999) 723-726.
20. **Hong B., Lu D.,** Inter. Journal of Nonlinear Science 7 (2009) 360-367.
21. **Karpman V.I.,** The European Physical Journal B 39 (2004) 341-350.
22. **Gromov E.M., Talanov V.I.,** JETP 83 (1996) 73-79.
23. **Gromov E.M., Talanov V.I.,** Chaos 10 (2000) 551-558.
24. **Gromov E.M., Piskunova L.V., Tyutin V.V.,** Physics Letters A 256 (1999) 153-158.
25. **Obregon M.A., Stepanyants Yu.A.,** Physics Letters A 249 (1998) 315-323.
26. **Scalora M., Syrchin M., Akozbek N., Poliakov E.Y., D’Aguanno G., Mattiucci N., Bloemer M.J., Zheltikov A.M.,** Phys. Rev. Lett. 95 (2005) 013902.
27. **Wen S.C., Wang Y., Su W., Xiang Y., Fu X., Fan D.,** Phys. Rev. E 73 (2006) 036617.
28. **Marklund M., Shukla P.K., Stenflo L.,** Phys. Rev. E 73 (2006) 037601.
29. **Tsitsas N.L., Kourakis Rompotis I., Kevrekidis P.G. and Frantzeskakis D.J.,** Phys. Rev. E 79 (2009) 037601.
30. **Kivshar Y.S.,** Phys. Rev. A 42 (1990) 1757-1761.
31. **Kivshar Y.S., Malomed B.A.,** Optics Letters 18 (1993) 485-487.
32. **Malomed B.A., Tasgal R.S.,** JOSA B 15 (1998) 162-170.
33. **Biancalama F., Skrybin D.V., Yulin A.V.,** Phys. Rev. E 70 (2004) 011615.
34. **Essiambre R.-J., Agrawal G.P.,** JOSA B 14 (1997) 314-322.
35. **Essiambre R.-J., Agrawal G.P.,** JOSA B 14 (1997) 323-330.
36. **Andrianov A., Muraviev S., Kim A., Sysoliatin A.,** Laser Physics 17 (2007) 1296-1302.
37. **Chernikov S., Dianov E., Richardson D., Payne D.,** Optics Letters 18 (1993) 476-478.
38. **Gromov E.M. and Malomed B.A.,** Soliton dynamics in an extended nonlinear Schrödinger equation with a spatial counterpart of the stimulated Raman scattering, Journal of Plasma Physics 80 (2014) (accepted), text online available <http://arxiv.org/ftp/arxiv/papers/1306/1306.4550.pdf>.

39. **Zakharov V.E.**, Sov. Phys. JETP 33 (1971) 927-932.
40. **Zakharov V.E.**, Radiophysics and Quantum Electronics 17 (1974) 326-343.
41. **Blit R., Malomed B.A.**, Phys. Rev. A 86 (2012) 043841.

*Дата поступления
в редакцию 05.02.2014*

N.V. Aseeva, L.G. Blyakhman, K.V. Logvinova, V.V. Tyutin

**DAMPED SOLITONS IN AN EXTENDED NONLINEAR SCHRÖDINGER
EQUATION WITH A SPATIAL STIMULATED RAMAN SCATTERING
AND DECREASING DISPERSION**

National Investigate University Higher School of Economics

Purpose: Dynamics of solitons is considered in the framework of the extended nonlinear Schrödinger equation (NSE), which is derived from a system of Zakharov's type for the interaction between high- and low-frequency (HF and LF) waves. The resulting NSE includes a pseudo-stimulated-Raman-scattering (pseudo-SRS) term, i.e., a spatial-domain counterpart of the SRS term, which is a known ingredient of the temporal-domain NLSE in optics. Also included is inhomogeneity of the spatial second-order diffraction and linear losses of HF waves.

Approach: Soliton's dynamic investigated as analytically as numerically.

Findings: It is shown that wavenumber downshift by the pseudo-SRS may be compensated by upshift provided by SOD whose local strength is an exponentially decaying function of the coordinate. An analytical soliton solution with a permanent shape is found in an approximate form, and is verified by comparison with numerical results.

Key words: Extended Nonlinear Schrödinger Equation, Damped Soliton Solution, Stimulated Scattering, Damping Low-Frequency Waves, Linear Loss High-Frequency Waves, Inhomogeneity, Second-Order Dispersion, Analytical Solutions, Numerical Simulation.